

01;06

## Исследование приграничных состояний в МДП структурах одночастотным методом адмиттанса

© Е.Н. Бормонтов, С.В. Лукин

Воронежский государственный университет,  
394693 Воронеж, Россия

(Поступило в Редакцию 18 марта 1996 г.)

Рассмотрены две модели процесса туннельной перезарядки приграничных состояний, заглубленных в диэлектрик. В одной из них пространственное распределение этих состояний считается однородным, в другой объемная плотность ловушек экспоненциально спадает с глубиной. Получены аналитические выражения для ширины и положения максимума кривых нормированной проводимости в обеих моделях, показаны их точность и ограничения. Предложена новая методика исследования приграничных состояний методом адмиттанса, использующая  $G$ – $V$ -характеристики структур металл–диэлектрик–полупроводник (МДП), снятые на фиксированной частоте.

### Введение

Как известно, наиболее корректным методом исследования границы раздела полупроводник–диэлектрик в МДП структурах является метод полной проводимости [1]. В модели Леговека и Слободского [2] предполагается, что имеется континуум поверхностных состояний, локализованных строго на границе полупроводник–диэлектрик, а поверхностный заряд и потенциал одинаковы во всех точках этой границы. Реально же из-за несовершенства технологии выращивания окисла на кремнии на поверхности полупроводника всегда имеются флуктуации поверхностного потенциала, а в запрещенной зоне диэлектрика — электронные состояния, которые могут обмениваться носителями заряда с разрешенными зонами полупроводника. Оба этих эффекта приводят к уширению экспериментальных кривых нормированной проводимости по сравнению с построенными по модели [2]. Теория флуктуаций поверхностного потенциала подробно разработана Николлианом и Гоеццбергером [3] и получила дальнейшее развитие в работах [4–7]. Нами была разработана одночастотная методика контроля поверхностных параметров МДП структур в рамках флуктуационной модели [8], основанная на анализе зависимости полной проводимости МДП структуры от смещения и температуры.

В последнее время особо актуальна проблема туннельной перезарядки ловушек в диэлектрике в связи с тенденцией к уменьшению геометрических размеров элементов интегральных схем, в частности, с использованием тонких оксидных слоев [9,10]. Хотя в принципе возможно разделение флуктуационного и туннельного механизмов уширения кривых нормированной проводимости, это очень трудно сделать экспериментально при сканировании по частоте, так как необходимо изменять величину частоты на много (около десятка) порядков [11]. В настоящей работе предлагается одночастотная методика исследования приграничных состояний (ПС) в МДП структурах методом полной проводимости в рамках тун-

нельной модели с учетом реального пространственного распределения электронных и дырочных ловушек в диэлектрике.

### Туннельная модель перезарядки приграничных состояний

В диэлектриках всегда имеются электронные состояния, квазинепрерывно распределенные по энергиям в запрещенной зоне. Если эти состояния заглублены в диэлектрик на глубину до  $30 \text{ \AA}$ , то становятся возможными туннельные переходы электронов на эти состояния [12], которые оказывают существенное влияние на адмиттанс МДП структур. При этом большое значение имеет характер пространственного и энергетического распределения ловушек в диэлектрике. В нашей работе будет рассматриваться случай равномерного распределения ПС по энергиям, соответствующий области обедняющих изгибов зон. Что касается пространственного распределения ПС, то мы рассмотрим два случая: равномерной и экспоненциально убывающей объемной плотности состояний в диэлектрике.

а) Р а в н о м е р н о е р а с п р е д е л е н и е с о с т о я н и й в д и э л е к т р и к е. Этот случай достаточно подробно рассмотрен в [11,12]. Нормированная проводимость МДП структуры в этой модели описывается выражением [11]

$$\frac{G_p}{\omega} = \frac{qN_s}{4\pi} \left( \frac{\ln(1+x^2)}{x} - \frac{\ln(1+A^2x^2)}{Ax} + 2 \operatorname{arctg}(Ax) - 2 \operatorname{arctg}x \right), \quad (1)$$

где  $q$  — заряд электрона;  $N_s$  — плотность ловушек в диэлектрике;  $x = \omega\tau_0$ ,  $\omega$  — частота измерительного сигнала;  $\tau_0$  — постоянная времени ПС на границе раздела полупроводник–диэлектрик;  $A = \exp(2\pi d)$ ,  $d$  —

расстояние, на которое заглублены ПС в диэлектрик;

$$\varkappa = \frac{\sqrt{2m^*W}}{\hbar} \quad (2)$$

— коэффициент затухания волновой функции электрона в диэлектрике,  $m^*$  — эффективная масса электрона в запрещенной зоне диэлектрика,  $W$  — высота потенциального барьера для туннелирования,  $\hbar$  — постоянная Планка.

Исследование функции (1) на экстремум дает уравнение для положения максимума кривой нормированной проводимости в виде

$$\ln(1 + A^2x_m^2) - A \ln(1 + x_m^2) = 0. \quad (3)$$

Это трансцендентное уравнение, которое, однако, в случае  $A > 20$  может быть сведено к алгебраическому, и решено аналитически относительно  $x_m$

$$x_m = \frac{2\sqrt{\varkappa d + 0.2}}{\exp(\varkappa d + 0.2)}. \quad (4)$$

Условие  $A > 20$  соответствует при реальных значениях эффективной массы ( $m^* = 0.5m_0$ ) и потенциального барьера ( $W = 2-4\text{eV}$ ) глубине  $d > 3\text{Å}$ . При таких глубинах распределения ПС в диэлектрике погрешность формулы (4) по сравнению с точным решением уравнения (3) не превышает 6%.

Важнейшей задачей в модели туннельной перезарядки ПС является нахождение параметра  $d$ . В настоящей работе предлагается использовать для этой цели подход Брюса [5], основанный на использовании фракционного параметра  $f_d$ . Существуют два значения  $x$ , при которых нормированная проводимость  $G_p/\omega = f_d(G_p/\omega)_{\max}$ . Обозначим их  $x_+$  и  $x_-$ . Ширина кривой нормированной проводимости  $\ln(x_+/x_-)$  является функцией  $d$ . В общем случае, используя выражение (1), можно построить эту функцию численно. Однако при том же условии  $A > 20$  выражение (1) можно преобразовать к такому виду, что искомая функция станет аналитической. При  $A > 20$  вблизи максимума выполняются условия  $x \ll 1$  и  $Ax \gg 1$ . Тогда  $\ln(1 + x^2)$  и  $\text{arctg} x$  можно разложить в ряд по степеням  $x$ , ограничившись первыми членами, и  $\text{arctg}(Ax)$  принять равным  $\pi/2$ . В этом случае для  $x = \omega\tau_0$ , соответствующих данному  $f_d$ , получается квадратное уравнение, имеющее следующее решение:

$$x_{\pm} = \frac{\pi}{2}(1 - f_d) + x_m f_d \pm \left[ \left( \frac{\pi}{2}(1 - f_d) + x_m f_d \right)^2 - x_m^2 \right]^{1/2}, \quad (5)$$

где  $x_m$  описывается выражением (4).

Вводя поправочный коэффициент 1.1, учитывающий погрешность разложения в ряд логарифма и арктангенса, а также обозначение

$$t = \frac{\pi}{2}(1 - f_d) + x_m f_d,$$

получим окончательно для ширины кривой нормированной проводимости

$$\ln\left(\frac{x_+}{x_-}\right) = 1.1 \ln\left(\frac{t + \sqrt{t^2 - x_m^2}}{t - \sqrt{t^2 - x_m^2}}\right). \quad (6)$$

При измерениях на фиксированной частоте ширина кривой нормированной проводимости равна разности значений поверхностного потенциала  $y_s^+$  и  $y_s^-$ , при которых  $G_p/\omega = f_d(G_p/\omega)_{\max}$ . В левой части выражения (6) вместо  $\ln(x_+/x_-)$  можно подставить  $(y_s^+ - y_s^-)$ . В уравнении (6) останется одна неизвестная величина —  $d$ , входящая в выражение (4) для  $x_m$ . Решение уравнения (6) почти точно совпадает с численными расчетами, если  $f_d \geq 0.9$ , т.е. сечение проводится вблизи максимума кривой  $G_p/\omega(y_s)$ . Определив  $d$  из уравнения (6), можно найти положение максимума нормированной проводимости  $x_m$  и значение постоянной времени ПС в точке максимума  $\tau_m = x_m/\omega$ . После нахождения  $\tau_m$  находится сечение захвата  $\sigma_0$  состояний, лежащих на границе раздела полупроводник-диэлектрик, по формуле

$$\sigma_0 = (\tau_m v n_0)^{-1} \exp(-y_{sm}), \quad (7)$$

где  $v$  — средняя тепловая скорость электронов (в полупроводнике  $n$ -типа);  $n_0$  — концентрация электронов;  $y_{sm}$  — поверхностный потенциал, при котором нормированная проводимость МДП структуры максимальна.

Сечение захвата электронов на состояния, заглубленные в диэлектрик на расстояние  $z$ , равно  $\sigma(z) = \sigma_0 \exp(-2\varkappa z)$ .

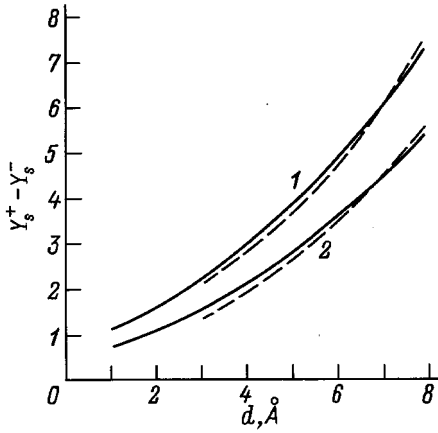
Экспериментальное значение  $(G_p/\omega)_{\max}$  дает возможность определить объемную плотность ловушек в диэлектрике  $N_s$ . Действительно, из (1) с учетом (3) для  $(G_p/\omega)_{\max}$  имеем следующее выражение:

$$(G_p/\omega)_{\max} = \frac{qN_s}{2\varkappa} \left( \text{arctg}(Ax_m) - \text{arctg} x_m \right), \quad (8)$$

в котором все величины известны из эксперимента и решения уравнения (4), (6), за исключением  $N_s$ . Решая уравнение (8) относительно  $N_s$ , находим среднюю объемную плотность ловушек в диэлектрике, а умножая ее на  $d$ , — плотность поверхностных состояний в МДП структуре. В целом при глубине распределения ПС в диэлектрике  $d > 3\text{Å}$  и характерных величинах  $m^*$ ,  $W$  и  $\varkappa$  описанный аналитический подход дает погрешность не более 6%.

б) Экспоненциально убывающая плотность состояний в диэлектрике. Мы рассмотрели простейшую модель распределения ловушек в диэлектрике, когда объемная плотность ПС постоянна как по энергии, так и по координате. Однако в реальном случае, как показано в [9], плотность ловушек в диэлектрике более точно описывается экспоненциально убывающей функцией координаты  $z$

$$N(z) = N_s \exp\left(-\frac{z}{\lambda}\right), \quad (9)$$



**Рис. 1.** Зависимость ширины кривой нормированной проводимости  $G_p/\omega$  ( $y_s$ ) от  $d$  в модели равномерного пространственного распределения ПС. Сплошные кривые — точный численный расчет с помощью выражения (1), штриховые кривые — расчет по аналитическому соотношению (6);  $f_\lambda$ : 1 — 0.9, 2 — 0.95;  $m^* = 0.5m_0$ ,  $W = 4\text{ eV}$ .

где  $N_s$  — плотность состояний на границе раздела полупроводник–диэлектрик,  $\lambda$  — характерная глубина спада плотности ловушек в диэлектрике.

Известно, что сечение захвата носителей заряда на ПС экспоненциально спадает в глубь диэлектрика, а постоянная времени ПС экспоненциально растет. Разбивая диэлектрик на тонкие слои толщиной  $dz$  и интегрируя их проводимость  $G_p/\omega$  по  $z$  от 0 до  $\infty$ , получим следующее выражение для нормированной проводимости МДП структуры:

$$\frac{G_p}{\omega} = \frac{qN_s}{4\pi} x^\alpha \int_x^\infty \frac{\ln(1+y^2)}{y^{2+\alpha}} dy, \quad (10)$$

где  $x = \omega\tau_0$ ,  $\alpha = 1/(2\pi\lambda)$ .

В общем случае этот интеграл аналитически не берется, однако можно использовать то обстоятельство, что в большинстве случаев  $\lambda > 10\text{ \AA}$  [9]. При этом  $\alpha < 0.1$  и интеграл можно взять приближенно, используя малость  $\alpha$ . Аналитическая формула, приближенно описывающая нормированную проводимость в данной модели, имеет следующий вид:

$$\frac{G_p}{\omega} = \frac{qN_s}{4\pi(1+\alpha)} \left[ \frac{\ln(1+x^2)}{x} + (\pi - 2\arctg x)x^\alpha \right]. \quad (11)$$

Функция (11) стремится к нулю как при  $x \rightarrow 0$ , так и при  $x \rightarrow \infty$ . Она имеет максимум, положение которого можно определить, приравняв производную к нулю. В результате получается следующее уравнение для положения максимума нормированной проводимости  $x_m$ :

$$2x_m^2 - (1+x_m^2)\ln(1+x_m^2) + \alpha x_m^{\alpha+1}(1+x_m^2) \times (\pi - 2\arctg x_m) - 2x_m^{\alpha+2} = 0. \quad (12)$$

Если решить это уравнение приближенно с учетом того, что  $\alpha \ll 1$ , то, разлагая в ряд логарифм и арктангенс, получим следующее аналитическое выражение для положения максимума:

$$x_m = \alpha\pi = \pi/(2\pi\lambda). \quad (13)$$

Расхождение между численным решением уравнения (12) и формулой (13) при  $\lambda > 10\text{ \AA}$  не превосходит 2%. Таким образом, максимум смещается в сторону меньших частот или постоянных времени приблизительно обратно пропорционально глубине  $\lambda$ .

Для модели экспоненциального распределения ловушек в диэлектрике можно также получить формулу, аналогичную (6), которая связывает ширину кривой нормированной проводимости с параметром  $\lambda$ . Для фракционного параметра  $f_\lambda = (G_p/\omega)/(G_p/\omega)_{\max} \simeq 0.9$  она имеет следующий вид:

$$\ln\left(\frac{x_+}{x_-}\right) = 1.25 \ln\left(\frac{t + \sqrt{t^2 - (0.5 + \alpha)^2 x_m^2}}{t - \sqrt{t^2 - (0.5 + \alpha)^2 x_m^2}}\right), \quad (14)$$

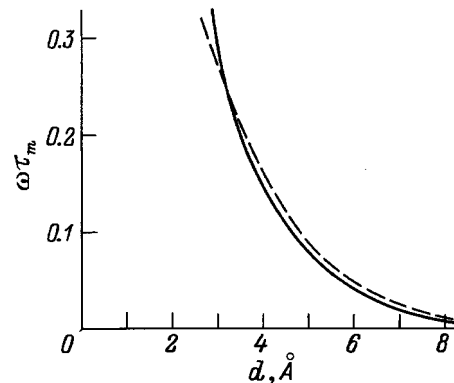
где

$$t = \frac{\pi}{2}(1 - f_\lambda) + (0.5 + \alpha)f_\lambda x_m,$$

$x_m$  определяется формулой (13).

Результаты, полученные по формуле (14), отличаются от точных численных расчетов ширины кривой нормированной проводимости с использованием выражения (11) не более чем на 3% при  $\lambda > 10\text{ \AA}$  и  $f_\lambda = 0.9$ . Ясно, что при измерениях на фиксированной частоте для кривых  $G_p/\omega(y_s)$  левая часть (14) может быть заменена на разность значения поверхностного потенциала  $y_s^+$  и  $y_s^-$ , соответствующих выбранному фракционному параметру  $f_\lambda$ .

Дальнейшая процедура обработки кривой нормированной проводимости аналогична той, что описана применительно к модели равномерного распределения ПС в



**Рис. 2.** Зависимость положения максимума кривой нормированной проводимости  $G_p/\omega$  ( $\omega\tau_0$ ) от глубины  $d$  залегания приграничных состояний ПС в диэлектрике в модели равномерного пространственного распределения ПС. Сплошная кривая — численное решение уравнения (3), штриховая кривая — расчет по формуле (4);  $m^* = 0.5m_0$ ,  $W = 4\text{ eV}$ .

диэлектрике. Вместо формул (4) и (6) нужно использовать выражения (13) и (14), формулу (7) оставить без изменений, а объемную плотность ловушек определять из уравнения

$$\left(\frac{G_p}{\omega_{\max}}\right) = \frac{qN_s}{4\kappa(1+\alpha)} \times \left[ \frac{\ln(1+x_m^2)}{x_m} + (\pi - 2 \arctg x_m)x_m^\alpha \right], \quad (15)$$

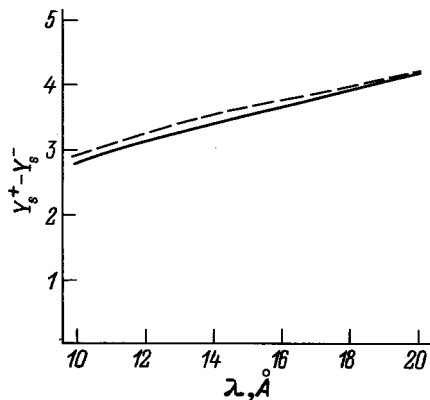
в которое подставляются экспериментальное значение  $(G_p/\omega)_{\max}$  и рассчитанное из (13), (14) значение  $x_m$ . Плотность поверхностных состояний определяется как интеграл от  $N(z)$  по координате  $z$  в глубь диэлектрика

$$N_{ss} = \int_0^\infty N_s \exp\left(-\frac{z}{\lambda}\right) dz = N_s \lambda. \quad (16)$$

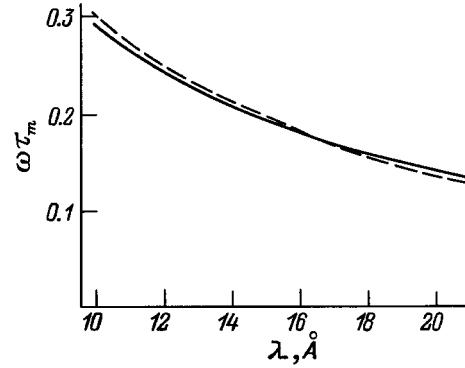
Представленная выше одночастотная методика исследования приграничных состояний в структурах с электронными или дырочными ловушками в диэлектрике применяется в области обедняющих изгибов зон, когда энергетическое распределение плотности и сечений захвата ПС можно считать приблизительно однородным и ограничиться взаимодействием ловушек на границе раздела и в диэлектрике только с зоной основных носителей заряда (валентной для полупроводника  $p$ -типа, зоной проводимости для  $n$ -типа).

## Результаты и их обсуждение

Для проверки предложенной модели адмиттанса МДП структуры были проведены соответствующие расчеты, результаты которых представлены на рисунках. На рис. 1 сопоставляются результаты вычисления ширины кривой нормированной проводимости  $G_p/\omega(y_s)$  для значений



**Рис. 3.** Зависимость ширины кривой нормированной проводимости  $G_p/\omega(y_s)$  от  $\lambda$  в модели экспоненциально убывающего пространственного распределения ПС при  $\lambda > 10 \text{ \AA}$ . Сплошная кривая — точный численный расчет с помощью выражения (11), штриховая кривая — расчет по аналитическому соотношению (14);  $f_d = 0.9$ ,  $m^* = 0.5m_0$ ,  $W = 2 \text{ eV}$ .



**Рис. 4.** Зависимость положения максимума кривой нормированной проводимости  $G_p/\omega$  ( $\omega\tau_0$ ) от  $\lambda$  в модели экспоненциально убывающего пространственного распределения ПС при  $\lambda > 10 \text{ \AA}$ . Сплошная кривая — численное решение уравнения (12), штриховая кривая — расчет по формуле (13);  $m^* = 0.5m_0$ ,  $W = 2 \text{ eV}$ .

фракционного параметра  $f_d = 0.9$  и  $0.95$  с помощью формул (1) и (6) в модели равномерного распределения ПС в диэлектрике по координате. Видно, что при этих значениях  $f_d$  достигается хорошее согласование численных и аналитических расчетов. На рис. 2 представлены зависимости положения максимума кривой нормированной проводимости от глубины залегания ПС в диэлектрике, вычисленные из уравнений (3) и (4). При  $d \geq 3 \text{ \AA}$  различие этих результатов не превосходит 5%. Аналогичные результаты для модели экспоненциального распределения ловушек в диэлектрике приведены на рис. 3 и 4.

Сравнение моделей равномерного и экспоненциально убывающего распределения ПС в диэлектрике показывает различия в характере уширения кривых нормированной проводимости. При равномерном распределении это уширение существенно больше по величине и сильнее зависит от расстояния, на которое заглублины ловушки. Экспоненциальный спад объемной плотности ПС сглаживает данный эффект, тем не менее он все равно заметен. В модели экспоненциально убывающей в глубь диэлектрика плотности ПС существенно меньше и сдвиг максимума кривой  $G_p/\omega$  ( $\omega\tau$ ) с ростом характерной глубины распределения. Максимум сдвигается влево приблизительно обратно пропорционально  $\lambda$ , в то время как при равномерном распределении ПС зависимость положения максимума от  $d$  носит экспоненциальный характер.

## Заключение

В работе рассмотрена актуальная в настоящее время проблема туннельной перезарядки приграничных состояний в диэлектриках МДП структур. Теоретически рассмотрены различные модели распределения этих состояний по координате в глубь диэлектрика. В связи с тем

что частота  $\omega$  и постоянная времени ПС  $\tau$ , зависящая от поверхностного потенциала  $\psi_s$ , входят в выражения для проводимости симметричным образом, возможно при исследовании поверхностных параметров МДП структур перейти от сканирования по частоте к сканированию по потенциалу, т.е. использовать  $G-V$ -характеристики МДП структур. Это существенно упрощает измерительное оборудование и позволяет использовать высокоточные измерители адмиттанса. Аналитический подход в описании процесса туннельной перезарядки приграничных состояний позволил получить достаточно простые выражения для ширины кривой нормированной проводимости и положения ее максимума, которые можно использовать при обработке экспериментальных результатов в большинстве практически важных случаев. Отметим, что описанная достаточная методика подобна представленной в [8], что позволяет использовать их для совместного анализа флуктуационного и туннельного механизмов уширения кривых нормированной проводимости МДП структур.

## Список литературы

- [1] Nicollian E.H., Goetzberger A. // Appl. Phys. Lett. 1965. Vol. 7. P. 216–219.
- [2] Lehovec K. // Appl. Phys. Lett. 1966. Vol. 8. P. 48–50.
- [3] Nicollian E.H., Goetzberger A. // Bell Syst. Tech. J. 1967. Vol. 46. P. 1055–1133.
- [4] Nicollian E.H., Goetzberger A., Lopez A.D. // Sol. St. Electron. 1969. Vol. 12. P. 937–944.
- [5] Brews J.R. // Sol. St. Electron. 1983. Vol. 26. P. 711–716.
- [6] Yadava R.D.S. // Sol. St. Electron. 1990. Vol. 33. N 1. P. 127–137.
- [7] De Dios A., Castan E., Bailon L. et al. // Sol. St. Electron. 1990. Vol. 33. N 8. P. 987–992.
- [8] Бормонтов Е.Н., Котов С.В., Лукин С.В., Головин С.В. // ФТП. 1995. Т. 29. Вып. 4. С. 646–653.
- [9] Khosru Q.D.M., Yasuda N., Taniguchi K., Hamaguchi C. // J. Appl. Phys. 1994. Vol. 76. N 8. P. 4738–4742.
- [10] Schuegraf K.F., Hu C. // Semicond. Sci. Technol. 1994. Vol. 9. P. 989–1004.
- [11] Гуртов В.А. Электронные процессы в структурах металл–диэлектрик–полупроводник. Петрозаводск: Изд-во ПГУ, 1984. 114 с.
- [12] Овсяк В.Н. Электронные процессы в полупроводниках с областями пространственного заряда. Новосибирск: Наука, 1984. 254 с.